

I) ARQS magnétique et phénomène d'induction

1) Courant de déplacement - lien avec la conservation de la charge

$$\left. \begin{array}{l} \operatorname{div} \vec{E} = \rho / \epsilon_0 \\ \operatorname{rot} \vec{E} = - \frac{\partial \vec{B}}{\partial t} \end{array} \right| \quad \left. \begin{array}{l} \operatorname{div} \vec{B} = 0 \\ \operatorname{rot} \vec{B} = \mu_0 \vec{j} + \epsilon_0 \mu_0 \frac{\partial \vec{E}}{\partial t} \end{array} \right.$$

$$\operatorname{rot} \vec{B} = \mu_0 (\vec{j} + \vec{j} \text{ déplacement})$$

$$\vec{j} \text{ dépl} = \epsilon_0 \frac{\partial \vec{E}}{\partial t}$$

lien avec $\frac{\partial \rho}{\partial t} + \operatorname{div} \vec{j} = 0$

A partir des équations de Maxwell :

$$\operatorname{div} \vec{j} = \operatorname{div} \left(\frac{\operatorname{rot} \vec{B}}{\mu_0} - \epsilon_0 \frac{\partial \vec{E}}{\partial t} \right) \quad \text{avec } \operatorname{div}(\operatorname{rot} \vec{B}) = 0$$

$$\begin{aligned} \operatorname{div} \vec{j} &= - \epsilon_0 \frac{\partial}{\partial t} (\operatorname{div} \vec{E}) \\ &= - \epsilon_0 \frac{\partial}{\partial t} \left(\frac{\rho}{\epsilon_0} \right) \end{aligned}$$

$$\operatorname{div} \vec{j} + \frac{\partial \rho}{\partial t} = 0$$

La éq de conservation de la charge est contenue dans les éq de Maxwell.

2) ARQS magnétique

1^{ère} année \rightarrow ARQS \rightarrow on néglige la propagation d'onde

$$E \text{ tg} \rightarrow \frac{L}{\lambda} \ll 1$$

L taille du circuit
 λ longueur d'onde

a) Cadre de l'ARQS magnétique

Considérons un solénoïde (fixe) parcouru par $i(t)$

$$-\text{f f f f f} \quad \vec{B}^0 = \mu_0 n i(t) \vec{e}_z$$

Créé par le solénoïde à l'int.

Cette expression valable de l'ARQS magnétique est en fait une approximation.

On appelle \vec{B}^0 le champ magnétique initial produit par le solénoïde
 $\text{rot } \vec{E}^0 = -\frac{\partial \vec{B}^0}{\partial t} \rightarrow \text{champ } \vec{E}^0 \text{ induit par variation temporelle de } \vec{B}^0$
 puis courant de déplacement $\frac{\partial \vec{E}^0}{\partial t}$ crée $\delta \vec{B}$.

Évaluons $\int \vec{B} \cdot d\vec{l}$ en ODE : $\text{ODE rot } \vec{E}^0 = -\frac{\partial \vec{B}^0}{\partial t}$

$$\vec{E} = \frac{\vec{B}^0}{T} \text{ et } \vec{E} = \frac{1}{T} \vec{B}^0$$

dans le vide à l'int. solénoïde

$$\text{rot } (\delta \vec{B}) = E_0 \mu_0 \frac{\partial \vec{E}}{\partial t}$$

(s ODE)

$$\frac{\delta \vec{B}}{L} = \frac{1}{C^2 T} \vec{E} \quad \delta \vec{B} = \frac{L}{C^2 T} \vec{E} = \frac{L}{C^2 T^2} \vec{B}^0$$

$$\boxed{\delta \vec{B} = \left(\frac{L}{T}\right)^2 \vec{B}}$$

si $L/\lambda \ll 1 \rightarrow \delta B \ll B$
 le champ B induit est bien négligeable, comme le courant de déplacement.

Approche énergétique :

$$U_E = \frac{E_0 E^2}{2} \rightarrow \text{ODE} \Rightarrow U_E = E_0 \left(\frac{L}{T} B\right)^2$$

$$U_{\text{mag}} = \frac{B^2}{2 \mu_0} \quad (\text{B total} = B + \delta B \approx B)$$

$$\frac{U_E}{U_{\text{mag}}} = \frac{E_0 \mu_0}{2} \left(\frac{L}{T}\right)^2 = \left(\frac{L}{C}\right)^2 \ll 1$$

∴ Tte l'énergie est stockée sous forme magnétique.

b) Exemple du solénoïde dans l'ARQS magnétique (dans le vide)

$$-\text{f f f f f} \quad \vec{B}_{\text{ext}} = \vec{0}^0$$

$$\vec{B}_{\text{int}} = \mu_0 n i(t) \vec{e}_z$$

Évaluons le champ \vec{E} induit par MF^1

$$\text{div } \vec{E} = 0$$

Condition physique en magnétostatique

$$\text{rot } \vec{E} = -\frac{\partial \vec{B}}{\partial t}$$

fil ouvert $\vec{B} = B(r) \vec{e}_z$

$$\vec{E} = E(r) \vec{e}_r$$

$$\vec{E} = \frac{\mu_0 M r}{2} \frac{di}{dt} \vec{e}_r$$

$j = \frac{di}{dt}$

$$\vec{B} = \frac{\mu_0 j r}{2} \vec{e}_z \text{ à l'int.}$$

Calculons les énergies stockées à l'int. du solénoïde

$$U_{\text{mag}} = \iiint_V \frac{B^2}{2 \mu_0} dV \quad \text{avec } B = \mu_0 M i(t)$$

B uniforme dans V

$$= \frac{B^2}{2 \mu_0} V$$

$$U_{\text{mag}} = \frac{B^2 \pi R^2 l}{2 \mu_0} = \frac{\mu_0 M^2 \pi R^2 l i^2}{2}$$

$$\boxed{U_{\text{mag}} = \frac{\mu_0 M^2 \pi R^2 l i^2}{2}}$$

$$U_E = \iiint_V \frac{E_0 E^2}{2} dV$$

E qui dépend de r

dV volume d'une couronne cylindrique

$$dV = \delta \pi r dr dl$$

$$U_E = \int_{r=0}^{R/2} \frac{E_0 E^2}{2} \times \delta \pi r dr dl$$

$$U_E = \int_0^{R/2} \frac{\mu_0^2 M^2}{4} \left(\frac{di}{dt}\right)^2 r^3 dr$$

$$U_E = \frac{\pi}{2} \mu_0^2 E_0 l M^2 \left(\frac{di}{dt}\right)^2 \frac{R^4}{h}$$

Khalil
MOUSSA
PSI

$$U_e = \frac{\pi}{16} \mu_0^2 \epsilon_0 m^2 \left(\frac{di}{dt} \right)^2 \ell R^4$$

$$\frac{U_e}{U_{mag}} = \frac{2\pi \mu_0^2 \epsilon_0 m^2 \left(\frac{di}{dt} \right)^2 \ell R^4}{8\pi \rho \mu^2 \pi R^2 L i^2}$$

$$= \frac{\mu_0 \epsilon_0}{8} \frac{(di)^2}{i^2} R^2 \quad \text{avec } i = I_0 \cos \omega t$$

$$= \frac{1}{8} \frac{1}{C^2} W^2 R^2$$

$$= \frac{1}{8} \left(\frac{WR}{C} \right)^2 \quad W = \frac{2\pi}{T}$$

$$\frac{U_e}{U_{mag}} = \left(\frac{L}{\lambda} \right)^2 \ll 1 \quad \text{En ODE: } \frac{U_e}{U_{mag}} = \left(\frac{R}{C T} \right)^2 = \left(\frac{R}{\lambda} \right)^2 \ll 1$$

(si $R \ll C$)

Rq: On peut calculer la puissance régie : $P = - \oint \vec{B} \cdot d\vec{s} = \iint_S \vec{E} \cdot \vec{A} \vec{B} \cdot d\vec{s}$

Conduite générale dans l'ARQS magnétique $P = \frac{d}{dt} \left(\frac{1}{2} L I^2 \right)$

$\vec{j}_{dipol} = \vec{0}$

$\left(\frac{\partial \vec{E}}{\partial t} \propto \vec{0} \right)$

Tout est stocké sous forme mag.

c) ARQS magnétique dans un conducteur

ARQS mag

$$\text{rot} \vec{E} = - \frac{\partial \vec{B}}{\partial t} \quad \text{rot} \vec{B} = \mu_0 \vec{j} = \mu_0 \gamma \vec{E}$$

car $\vec{j} = \gamma \vec{E}$ dans un conducteur !

Il s'agit des courants induits ! → les courants de Foucault

$$\bullet \text{div} \vec{E} = \text{div} \left(\frac{\text{rot} \vec{B}}{\mu_0 \gamma} \right) = 0$$

→ $\rho = 0 \rightarrow$ dans l'ARQS un conducteur devient neutre

(7)

$$\bullet \text{div} \vec{j} = \text{div} \left(\frac{\text{rot} \vec{B}}{\mu_0} \right)$$

div $\vec{j} = 0 \rightarrow \vec{j}$ fluide

conservatif \rightarrow la loi des noeuds s'applique
 \rightarrow il n'y a pas de long d'un fil

$$\bullet \text{div} \vec{j} = \text{rot} \vec{B} \text{ valide}$$

Domaine de validité de l'ARQS magnétique dans les conducteurs

$$\text{rot} \vec{B} = \mu_0 \left(\vec{j} + \vec{j}_{dipol} \right)$$

$$\vec{j}_{dipol} = \left| \frac{\epsilon_0 \frac{\partial \vec{E}}{\partial t}}{8\pi} \right|$$

$$\text{En ODE} \Rightarrow \vec{E} = \frac{\epsilon_0 \vec{E}}{\delta E T} = \frac{\vec{E}_0}{\delta}$$

$$\vec{j}_{dipol} \ll \vec{j} \Leftrightarrow j \ll \frac{\delta}{\epsilon_0} = 10^{12} \text{ A/m} !!$$

Rappel: Loi d'Ohm valide $j \ll 10^{12} \text{ A/m}$

Comparons les champs magnétiques $\delta \vec{B}$ et \vec{B}

champ propre créé par les courants induits

$$\text{rot} \vec{E} = - \frac{\partial \vec{B}}{\partial t} \quad \vec{E} \text{ chp induit}$$

$$\hookrightarrow \text{en ODE} \Rightarrow \vec{E} = L \frac{\vec{B}}{T}$$

$$\text{rot}(\delta \vec{B}) = \mu_0 \left(\vec{j} + \vec{j}_{dipol} \right)$$

\vec{E} induit par \vec{B}

$$\frac{\delta \vec{B}}{L} = \mu_0 \vec{j} = \mu_0 \gamma \vec{E}$$

$$\frac{\delta \vec{B}}{L} = \mu_0 \gamma L \frac{\vec{B}}{T} \quad T = 2\pi/\nu$$

$$\frac{\delta \vec{B}}{L} = \frac{\mu_0 \gamma W L^2 B}{\pi R^2} \quad \text{à l'épaisseur de peau}$$

$$\delta B = \left(\frac{L}{S}\right) i B \quad \text{avec} \quad S = \sqrt{\frac{1}{\mu_0 \sigma w}}$$

Quand $L \ll S$ on pourra négliger le champ propre créé par les courants induits.

3) Loi de Faraday et force électro-motrice

→ Loi de Faraday

$$\oint \vec{E} \cdot d\vec{l} = - \frac{d\vec{B}}{dt}$$

$$\begin{aligned} \oint_S \vec{r} \vec{B} \cdot d\vec{l} &= \oint_S \vec{E} \cdot d\vec{l} = - \frac{d}{dt} \left(\iint_S \vec{B} \cdot d\vec{S} \right) \\ &= - \frac{d}{dt} \left(\iint_S \vec{B} \cdot d\vec{S} \right) \end{aligned}$$

$$\oint_S \vec{E} \cdot d\vec{l} = - \frac{d\phi}{dt}$$

la norme de \vec{E} n'est plus nulle ! (électrostatique)

$$e = - \frac{d\phi}{dt}$$

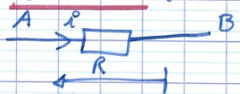
→ Induction de Neumann circuit fixe dans $\vec{B}(t)$

→ Induction de Lorentz circuit mobile dans \vec{B} ext.

⚠ Couplage mécanique en Θ de l'apparition d'un fém par la force de Laplace

Circuit électrique ouvert :

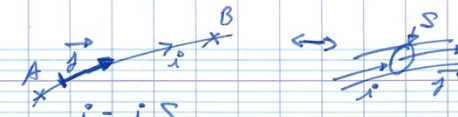
- sans inducto:



$$V_A - V_B = R i$$

$$V_A - V_B = \int_A^B dV = - \int_B^A \vec{E} \cdot d\vec{l}$$

avec $\vec{E} = \vec{j} / \gamma \rightarrow V_A - V_B = - \int_B^A \frac{\vec{j} \cdot d\vec{l}}{\gamma}$



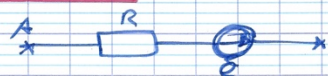
$$i = j S$$

$$dR = \frac{dl}{S}$$

$$V_A - V_B = \int_A^B j dl = \int_A^B \frac{i dl}{S} = i \int_A^B \frac{dl}{S}$$

$$V_A - V_B = R i$$

- avec inducto:

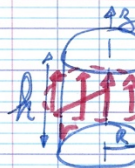


$$e = - \frac{d\phi}{dt}$$

II) Induction de Neumann et application

1) Courants de Foucault et chauffage par induction

a) Champ \vec{E} induit et courants de Foucault



On soumet le matériau conducteur

à $\vec{B}_0 = B_0 \cos \omega t \vec{e}_z$ uniforme sur la conducteur

$$\operatorname{div} \vec{E} = 0$$

$$\partial_t \vec{E} = - \frac{d\vec{B}_0}{dt}$$

$$\partial_t \vec{B}_0 = \mu_0 \vec{j}$$

$$\vec{E} = E(r) \vec{e}_\theta$$

$$\iint_S \vec{r} \vec{E} \cdot d\vec{l} = \oint_S \vec{E} \cdot d\vec{l} = \iint_S - \frac{d\vec{B}_0}{dt} \cdot d\vec{S}$$

$$\oint_S \vec{E} \cdot d\vec{l} = \oint_S E(r) \vec{e}_\theta \cdot d\vec{l} = \oint_S E(r) dl$$

$$= E(r) \times \pi r^2$$

$$\text{Avec l'orientation choisie } \vec{C} \quad d\vec{S} = dS \vec{e}_z$$

$$\frac{\partial \vec{B}_0}{\partial t} = - B_0 \sin(\omega t) \vec{e}_z$$

$$\iint_S - \frac{\partial \vec{B}_0}{\partial t} \cdot d\vec{S} = \iint_S B_0 \sin(\omega t) dS = B_0 \sin(\omega t) \pi r^2$$

$$E(r) = \frac{1}{2} r \cdot B_0 \sin(\omega t) \cdot \pi r^2$$

$$E(r) = \frac{1}{2} r \cdot B_0 \sin(\omega t)$$

$$\vec{J} = \gamma E \quad J = \frac{\gamma}{2} r \cdot B_0 \sin(\omega t) \cdot \pi r^2$$



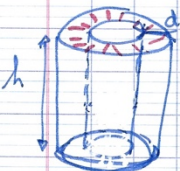
\rightarrow bandes de courant de Foucault d'axe Oz
 $\rightarrow +$ intense quand $r \rightarrow$

b) Puissance dissipée par effet Joule

$$P_v = J^2 \cdot E = \gamma E^2$$

$$P = \iiint_V P_v dV = \iiint_V \gamma E^2 dV$$

dV couronne cylindrique d'épaisseur dr



$$dV = dS \cdot h = 2\pi r dr \cdot h \quad \text{On intègre de } 0 \text{ à } R$$

$$\iiint_V \gamma E^2 d\pi r dr dh = \iiint_V \gamma \cdot E(r)^2 \cdot 2\pi r dr dh$$

$$= \iiint_V \gamma \frac{1}{4} r^2 (B_{0w})^2 \sin^2(\omega t) \times 2\pi r dr dh$$

$$= \frac{\gamma}{2} (B_{0w})^2 \sin^2(\omega t) \pi h \int_0^R r^3 dr$$

$$= \frac{\gamma}{2} (B_{0w})^2 \sin^2(\omega t) \pi \frac{R^4}{4} h$$

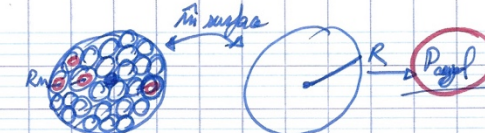
$$P = \frac{\gamma}{8} (B_{0w})^2 \sin^2(\omega t) \pi R^4 h$$

$$\langle P \rangle = \frac{\pi \gamma}{16} (B_{0w})^2 R^4 h$$

$$\text{car } \langle \sin^2(\omega t) \rangle = \frac{1}{2}$$

- \rightarrow chauffage amélioré si f élevée et B élevée
- \rightarrow puissance $\propto +$ vite que le volume $\rightarrow P$, on aura intérêt à diviser le conducteur en morceaux on diminuera la taille des bandes de courant!

(8)



isolation entre chaque conducteur.

$$M \text{ surface} \Rightarrow \pi R^2 = n \pi R_m^2$$

$$R_m = \frac{R}{f_m}$$

$$P = n \times P_{cylindre} \\ = n \times K \times R_m^4$$

$$P_{cyl} = KR^4$$

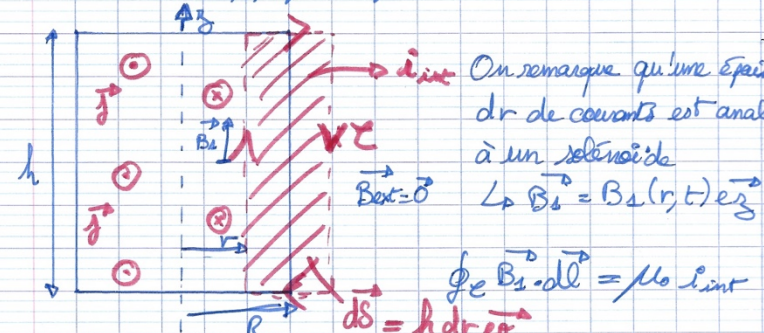
$$= K \times n \times \frac{R^4}{m^2} = K \times \frac{R^4}{m} = \frac{P_{cyl}}{m}$$

Mise pour un transformateur.

c) Calcul du champ propre critique du modèle

$$\vec{B}_1 = \mu_0 \vec{j} = \mu_0 \gamma E$$

champ propre créé par les courants de Foucault.



$$\oint \vec{B}_1 \cdot d\vec{l} = \int B_1(r, t) e_z \cdot dl e_z = \int B_1(r, t) dl = B_1(r, t) h$$

circulation sur
le contour extérieur avec $dl = dl e_z$

$$\text{Intensité induite avec } \vec{j} = j(r, t) e_z \\ i_{int} = \iint_S \vec{j}(r, t) \cdot d\vec{s} = \iint_S j(r, t) e_z \cdot h dr dz$$

$$i_{int} = h \int_R^R j(r, t) dr$$

$$I_{int} = h \int_r^R \frac{\gamma}{2} B_0 W_0 \sin(\omega_0 t) r dr$$

$$I_{int} = \frac{h \gamma}{2} B_0 W_0 \sin(\omega_0 t) \left(\frac{R^2 - r^2}{2} \right)$$

$$B_1(r,t) \propto \frac{\mu_0 \gamma}{4} B_0 W_0 \sin(\omega_0 t) (R^2 - r^2)$$

$$B_1(r,t) = \frac{\mu_0 \gamma}{4} B_0 W_0 \sin(\omega_0 t) (R^2 - r^2)$$

$$\boxed{B_1 = \frac{\mu_0 \gamma}{4} B_0 W_0 \sin(\omega_0 t) (R^2 - r^2) \hat{e}_z}$$

B_1 est max pour $r=0$

$$\therefore B_1 = \frac{\mu_0 \gamma B_0 W_0}{4} \sin(\omega_0 t) \times R^2$$

$$\text{En ODE} \Rightarrow \frac{B_1}{B_0} = \mu_0 \gamma W_0 R^2 = \left(\frac{R}{S}\right)^2$$

$$\text{avec } S = \sqrt{\frac{1}{\mu_0 \gamma W_0}}$$

$$\text{Si } R \ll S \rightarrow B_1 \text{ est négligeable !}$$

$$\gamma = 50 \text{ Hz} \xrightarrow{\text{et}} S \approx \text{cm}$$

$$\frac{S}{\gamma} \xrightarrow{\text{et}} \frac{1}{\gamma} \gg 1$$

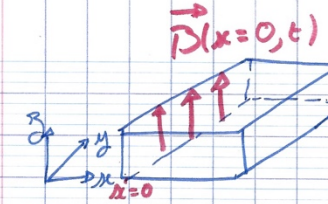
Conclusion : cette modélisation de chauffage doit être améliorée pour le conducteur de taille importante.

2) Épaisseur de peau - Cas d'un conducteur semi- ∞

a) Structure des champs, Epaisseur de peau

Conducteur semi- ∞ , demi-espace $x > 0$

Tous ses dimensions $\gg S$



On applique un champ B extérieur /

$$\vec{B}(x=0, t) = B_0 \cos(\omega_0 t) \hat{e}_z$$

(Produit par un solénoïde par exemple)

Équation de Maxwell = ARQS magnétique dans le conducteur

$$\operatorname{div} \vec{E} = 0$$

$$\operatorname{rot} \vec{E} = -\frac{\partial \vec{B}}{\partial t}$$

$$\operatorname{div} \vec{B} = 0$$

$$\operatorname{rot} \vec{B} = \mu_0 \vec{j} = \mu_0 \gamma \vec{E}$$

$$\text{Formule : } \operatorname{rot} (\operatorname{rot} \vec{A}) = \operatorname{grad} (\operatorname{div} \vec{A}) - \Delta \vec{A}$$

$$\operatorname{rot} (\operatorname{rot} \vec{B}) = \operatorname{grad} (\operatorname{div} \vec{B}) - \Delta \vec{B}$$

$$\Leftrightarrow -\Delta \vec{B} = \operatorname{rot} (\mu_0 \gamma \vec{E})$$

$$= \mu_0 \gamma \operatorname{rot} \vec{E}$$

$$-\Delta \vec{B} = \mu_0 \gamma \left(-\frac{\partial \vec{B}}{\partial t} \right)$$

$$\Delta \vec{B} = \mu_0 \gamma \frac{\partial \vec{B}}{\partial t}$$

Équation de Helmholtz

Équation de diffusion thermique :

$$\Delta T = D \alpha \frac{\partial T}{\partial t} \quad \text{in structure}$$

- On néglige les effets de bord = milieu semi- ∞
- invariantes par translation selon y et $z \Rightarrow \vec{B} = \vec{B}(x, t)$ de surface et

Type : pas de courants \Rightarrow champ \vec{B} continu en $x = 0$

$$\Rightarrow \vec{B} = B(x, t) \hat{e}_z$$

③

Khalil → dépendance spatio-temporelle

$$\vec{B}^0 = B_0 e^{j(\omega t - kx)} \vec{e}_z \quad \text{avec } \vec{B} = \Re(\vec{B}^0)$$

Mouza
PST

Le champ \vec{B} est selon \vec{e}_z . En proj sur \vec{e}_z

$$\Delta B = \frac{\partial^2 B}{\partial x^2} = -k^2 B$$

$$\frac{\partial B}{\partial t} = j\omega B$$

$$e^{-j\frac{\pi}{2}}$$

$$+k^2 = -\mu_0 \gamma_w j$$

$$k^2 = \mu_0 \gamma_w - j\frac{\pi}{2}$$

$$k = \pm \sqrt{\mu_0 \gamma_w} e^{-j\frac{\pi}{4}} = \pm \sqrt{\mu_0 \gamma_w} (1-j) \frac{1}{2}$$

$$k = \pm \left(\frac{(1-j)}{S} \right) \quad \text{avec } S = \sqrt{\mu_0 \gamma_w}$$

épaisseur de peau

$$\boxed{\vec{B} = B_0 e^{j(\omega t - kx)}}$$

Pour éviter la divergence de \vec{B} qd $x \rightarrow +\infty$

$$h = \frac{1-j}{S} \quad \vec{B} = B_0 e^{j(\omega t - \frac{1-j}{S})} x e^{-\frac{x}{S}}$$

$$\text{En } x=0 \rightarrow \vec{B}^0 (x=0, t) = B_0 e^{j\omega t} = B_0 e^{j\omega t}$$

donc $B_0 = B_0$

$$\vec{B} = B_0 e^{-\frac{x}{S}} e^{j(\omega t - \frac{1-j}{S})} \vec{e}_z$$

$$\vec{B}(x, t) = B_0 e^{-\frac{x}{S}} \cos(\omega t - \frac{1-j}{S}) \vec{e}_z$$

La décroissance expo. de l'amplitude pilotée par S .



Calcul de \vec{E}

$$\nabla \times \vec{B}^0 = \mu_0 \gamma E^0$$

$$\vec{E}^0 = \frac{\nabla \times \vec{B}^0}{\mu_0 \gamma}$$

Formule :

$$\nabla \times \vec{B}^0 = \begin{pmatrix} \frac{\partial}{\partial x} \\ \frac{\partial}{\partial y} \\ \frac{\partial}{\partial z} \end{pmatrix} \times \begin{pmatrix} B_x \\ B_y \\ B_z \end{pmatrix} \quad \begin{cases} B_x = 0 \\ B_y = 0 \\ B_z = 0 \end{cases}$$

$$\nabla \times \vec{B}^0 = -\frac{\partial B_z}{\partial x} \vec{e}_y$$

$$\nabla \times \vec{B}^0 = -\frac{\partial}{\partial x} (B_0 e^{j(\omega t - \frac{1-j}{S})}) \vec{e}_y$$

$$\nabla \times \vec{B}^0 = +\frac{1-j}{S} B_0 e^{j(\omega t - \frac{1-j}{S})} \vec{e}_y$$

$$\vec{E}^0 = \frac{1}{\mu_0 \gamma} \frac{j}{S} B_0 e^{j(\omega t - \frac{1-j}{S})} \vec{e}_y$$

$$\vec{E}^0 = \frac{\sqrt{2}}{S \mu_0 \gamma} B_0 e^{j(\omega t - \frac{1-j}{S} x + \frac{\pi}{4})} \vec{e}_y$$

$$\vec{E}^0(x, t) = \frac{\sqrt{w}}{\mu_0 \gamma} B_0 \cos(\omega t - \frac{1-j}{S} x + \frac{\pi}{4}) \cdot e^{-\frac{x}{S}} \vec{e}_y$$

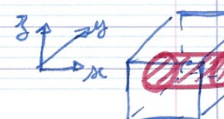
$$\rightarrow \text{si } x \ll S \rightarrow e^{-\frac{x}{S}} \approx 1$$

pas d'amortissement → le champ électrique est négligable (ARQ 8 mag 0%)

$\rightarrow y_0 > S \rightarrow$ le champ \vec{E} et \vec{B} sont nuls au de la droite!

$$\boxed{\vec{B}(x, t) = B_0 e^{-\frac{x}{S}} \cos(\omega t - \frac{1-j}{S}) \vec{e}_z}$$

b) Puissance de chauffage effet Joule



$$P_J = \iint_V \gamma E^0 dV$$

$$dV = S dx$$

On choisit une partie de conducteur de section S et $\parallel \vec{a} (\vec{e}_z)$

$$\langle P_B \rangle = \frac{1}{2} \frac{W B_0^2}{\mu_0} S \int_0^{+\infty} e^{-\frac{B_0 x}{\delta}} dx$$

$$\langle P_B \rangle = \frac{1}{4} \frac{SW B_0^2}{\mu_0} S \left[-\frac{\delta}{2} (-1) \right]$$

$$\boxed{\langle P_B \rangle = \frac{1}{4} \sqrt{\frac{SW}{\mu_0^3 \delta}} B_0^2 S}$$

La modélisation précédente (avec $R \gg \delta$) du cylindre chauffé

$$\langle P_B \rangle = \pi/16 \propto (B_0 W)^2 R^4 h$$

AN => Table de cuisson

$$B \approx 3 \text{ mT}$$

$$f \approx 10 \text{ kHz}$$

$$\text{Casserole } R = 10 \text{ cm}$$

avec un conducteur comme
le fer $\propto (Fe) = 10^7 S \cdot m^{-2}$

$$\boxed{P_B \approx 8 \text{ W trop faible}}$$

Il faut utiliser une casserole ferromagnétique (fer...)

$\mu_0 \rightarrow \mu_{air}$ et $B_0 \rightarrow \mu_0 B_0$

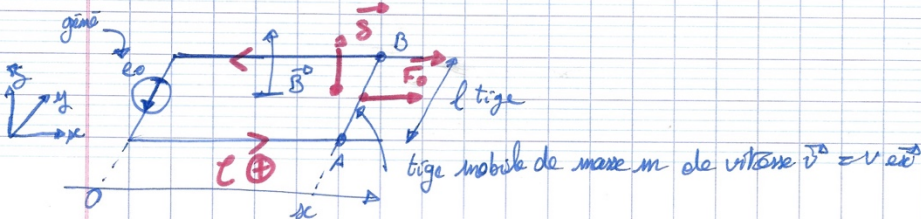
$$P_B \propto \frac{\mu_r^2}{\mu_r^3} \propto \sqrt{\mu_r} \text{ avec } \mu_r = 10^4$$

$$\text{On gagne un facteur } \sqrt{10^4} = 100$$

III Application de la force de Lorentz

1) Les rails de Laplace

a) Présentation



$$\rightarrow \vec{B} = B_0 \hat{z} = \vec{v} \times \vec{B}$$

→ résistance du circuit = R_{rigide}

→ force de frottement : $-\lambda v^2$

→ inductance propre L du circuit supposée constante (si le circuit se déforme)

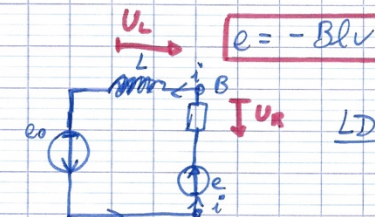
b) Équation électrique et mécanique

• Équation électrique :

$$\text{fond d'induction } e = -\frac{d\phi}{dt} \text{ avec } \phi = \iint \vec{B} \cdot d\vec{s} = BS \text{ avec } S = lx$$

$$\phi = Blx$$

$$\frac{d\phi}{dt} = Bl \frac{dx}{dt} = Blv$$



$$\text{LDM: } e + e_0 = U_R + U_L = R_i + L \frac{di}{dt}$$

$$\boxed{e_0 - Blv = Ri + L \frac{di}{dt}} \quad (1)$$

• Équation mécanique :

$$d\vec{F}_L = i dl \wedge \vec{B} \text{ avec } dl = dl \hat{a}_x$$

$$= i dl \hat{a}_y \wedge B_0 \hat{z}$$

$$\text{Intégration: } \vec{F}_L = i l B_0 \hat{a}_x$$

$$\boxed{\vec{F}_L = il B_0 \hat{a}_x} \Rightarrow \boxed{F_L = il B_0} \quad (2)$$

$$m \frac{dv}{dt} = -\lambda v + il B_0 + F_0 \quad (2)$$

Khalil
Mousa
PSI

c) Bilan énergétique

$$(1) \times i^* \rightarrow [e_0 - Blv = R_i^* i + L \frac{di^*}{dt}] \times i^*$$

$$\hookrightarrow e_0 i - Blv i = R_i^* i^2 + \frac{d}{dt} \left(\frac{1}{2} L i^2 \right)$$

$$(2) \times v \rightarrow \left[m \frac{dv}{dt} = -\lambda v + i l B + f_o \right] \times v$$

$$\hookrightarrow \frac{d}{dt} \left(\frac{1}{2} m v^2 \right) = -\lambda v^2 + i l B v + f_o v$$

$$\underbrace{e_0 i}_{\text{Puissance fournie par l'iset}} + \underbrace{f_o v}_{\text{Puissance dissipée mécan et aérot}} = \underbrace{R_i^* i^2}_{\text{Puissance dissipée}} + \underbrace{\lambda v^2}_{\text{Puissance dissipée}} + \underbrace{\frac{d}{dt} (E_{mag})}_{\text{Puissance stockée}}$$

$$P_{\text{fournie}} = P_{\text{dissipée}} + P_{\text{stockée}}$$

On peut transferer de l'énergie mécanique en énergie sign et inversement.

Caractère parfait du couplage électro-mécanique :

$$P(F_L) = i Blv$$

$$\text{Pôle} = R_i i = -Blv$$

$$P(F_L) + P_{\text{pôle}} = 0$$

- relation valide à induction de Faraday dans B^0 est (rotat°, translat°)
- pas de perte dans cette conversion

d) Fonctionnement moteur/génération

→ moteur : mise en mouvement sous l'effet de i générée ($F_o = 0$)

$$P_{FL} > 0 \rightarrow \text{moteur}$$

Pôle < 0 → va s'opposer au mouvement

Chemin d'action ⇒ i génér et $F_o \rightarrow$ mise en mouvement
 → variation du flux → force induite qui s'oppose au courant initial du géné.

En régime statiq (F_o = 0)

$$\left\{ \begin{array}{l} e_0 - Blv = R_i^* \\ 0 = -\lambda v + i l B \end{array} \right.$$

$$e_0 = \left(Bl + \frac{\lambda R}{B_e} \right) v$$

$$v = \frac{e_0}{Bl \left(1 + \frac{\lambda R}{(Bl)^2} \right)}$$

$$V \propto e_0$$

→ générateur : courant produit par la force induite sous l'effet F_o

$$\text{sans générateur } e_0 = 0 \quad \text{et } P_{FL} > 0$$

Chemin d'action → F_o produit variation du flux

→ force induite production courant i induit

→ $F_L = \text{l'induit } i l B^0$ s'oppose à la forme initiale qui est la cause.

En régime statiq ($e_0 = 0$)

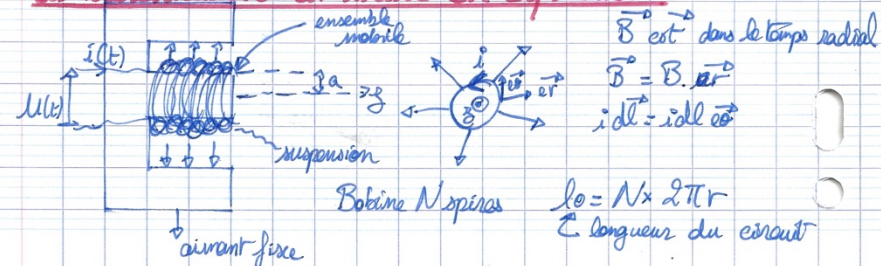
$$\left\{ \begin{array}{l} -Blv = R_i^* \\ 0 = F_o - \lambda v + i l B \end{array} \right. \rightarrow i = \frac{-F_o}{l B \left(1 + \frac{\lambda R}{(Bl)^2} \right)} \quad i \propto F_o$$

$$i \propto F_o$$

générateur

2) Le Haut-Parleur électrodynamique

a) Présentation et mise en équation



- force de rappel élastique $\vec{f} = -k_z \vec{e}_z$ (suspension)

- On modélise la puissance sonore émise par la force de frottement de la membrane avec l'air

$$\vec{F} = -\lambda \vec{v}$$

- en la masse de l'équipage mobile

- Équation mécanique :

$$d\vec{F}_1 = idl \vec{n} \cdot \vec{B} = idl \cos \theta \vec{n} \vec{B} \vec{e}_r$$

$$d\vec{F}_2 = -idl \vec{B} \vec{e}_z$$

$$\vec{F}_2 = - \int_{\text{Bobine}} idl \vec{B} \vec{e}_z = i \cdot l_0 B_0 \vec{e}_z$$

Le déplacement uniquement selon \vec{e}_z

PFD en projection selon \vec{e}_z :

$$m \frac{dv}{dt} = -\lambda v - k_z z + i l_0 B$$

- Équation électrique :

$$e = -\frac{d\phi}{dt} \quad \xrightarrow{\text{analogie rails de Laplace}} \phi \text{ (à l'instant) } \quad \phi \text{ (à l'instant) }$$

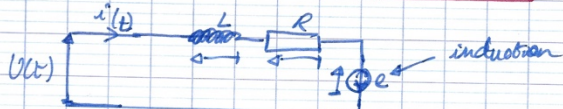
couplage électro-méca. parfait

$$P_{\text{el}} + P_{\text{mech}} = 0$$

$$-i l_0 B v + e i = 0$$

$$e = +i l_0 B v$$

⚠ On ne connaît pas B de partant



$$U = Rv + L \frac{di}{dt} - e$$

$$U = Rv + L \frac{di}{dt} - i l_0 B v$$

b) Fonctionnement en régime forcé : régime sinusoidal

Déterminons l' \underline{Z} l'impédance qui vérifie la fréquence du son émis affectée par la fréquence de l'excitation électrique (égo-linéaire).

$$\left. \begin{aligned} i(t) &= I \cos(\omega t) \\ u(t) &= U \cos(\omega t + \phi) \end{aligned} \right\} \text{excitation}$$

Déterminons l'impédance de l'ensemble \underline{Z} pour caractériser sa réponse. $\underline{U} = \underline{Z} \underline{i}$.

$$(1) : m \frac{dv}{dt} = -\lambda v - k_z z - i l_0 B \quad \text{avec } v = \frac{dz}{dt} = j \omega z$$

$$(m j \omega + \lambda + \frac{k}{j \omega}) z = -i l_0 B$$

$$(2) : \underline{U} = R \underline{i} + L \frac{d\underline{i}}{dt} - i l_0 B \underline{v}$$

$$\underline{U} = \underline{i} \left[R + j L \omega + \frac{(i l_0 B)^2}{m j \omega + \lambda + \frac{k}{j \omega}} \right]$$

$$\underline{Z} = R + j L \omega + \underline{Z}_{am} \quad \rightarrow \text{impédance non nulle donc en déplacement}$$

$$\underline{Z}_{am} = 0 \quad \text{si } v = 0$$

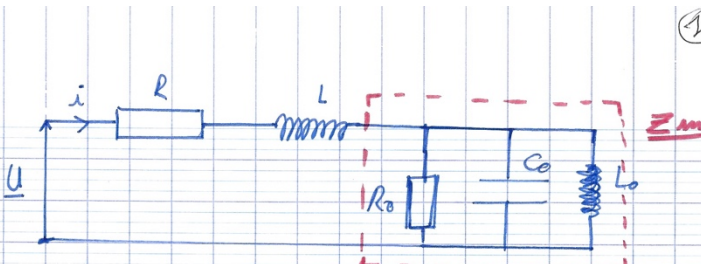
$$\underline{Z}_{am} = \frac{(i l_0 B)^2}{m j \omega + \lambda + \frac{k}{j \omega}}$$

$$\frac{1}{\underline{Z}_{am}} = \frac{\lambda}{(i l_0 B)^2} + \frac{m j \omega}{(i l_0 B)^2} + \frac{k}{(i l_0 B)^2} \times \frac{1}{j \omega}$$

$$\frac{1}{j R_0} \quad \frac{1}{j C \omega} \quad \frac{1}{j l_0 B^2}$$

$$\text{avec } R_0 = \frac{(i l_0 B)^2}{\lambda} \quad C_0 = \frac{m}{(i l_0 B)^2} \quad L_0 = \frac{(i l_0 B)^2}{k}$$

Khalil
Moussa
P82



$$Q = R_0 C_0 \omega_0 = \frac{\sqrt{mk}}{\lambda}$$

pulsation naturelle
d'oscillation mécanique

Si on excite électriquement à ω_0 → la réponse en déplacement est la + forte !
Donc dissipation
→ sonore la + intense

C) Bilan énergétique

$$(2) \times i \rightarrow U_i^2 = R i^2 + \frac{d}{dt} \left(\frac{1}{2} L_i^2 \right) - L_0 B_0 V_i$$

$$(1) \times v \rightarrow \frac{d}{dt} \left(\frac{1}{2} m v^2 \right) = \lambda v^2 - \frac{d}{dt} \left(\frac{1}{2} k z^2 \right) - L_0 B_0 V_i$$

$$\underbrace{U_i^2}_{\text{Pénaudie}} = \underbrace{R i^2 + \lambda v^2}_{\text{Pénaudie}} + \underbrace{\frac{d}{dt} \left(\frac{1}{2} L_i^2 + \frac{1}{2} k z^2 + \frac{1}{2} m v^2 \right)}_{\text{conversion énergie magne., potentielle élastique et cinétique}}$$

On pose en régime sinusoidal → $\langle \cdot \rangle$

$$\langle U_i^2 \rangle = \langle R i^2 \rangle + \langle \lambda v^2 \rangle$$

En moyenne → la puissance perdue est à "couper" la dissipation pour enterrer le régime forcé.

d) Rendement

$$\eta = \frac{\langle \lambda v^2 \rangle}{\langle U_i^2 \rangle} = \frac{\langle M_i \rangle - \langle R_i^2 \rangle}{\langle U_i^2 \rangle}$$

$$\eta = 1 - \frac{\langle R_i^2 \rangle}{\langle U_i^2 \rangle} \quad \langle R_i^2 \rangle = R \langle i^2 \rangle$$

Calcul d'une valeur moyenne avec des nombres complexes

$$\langle U_i \rangle = \frac{1}{T} \int_0^T U_i \cos(\omega t) \times \cos(\omega t + \varphi) dt$$

$$\cos(a) \cos(b) = \frac{1}{2} [\cos(a+b) + \cos(a-b)]$$

$$\langle U_i \rangle = \frac{U T}{2} \times \frac{1}{T} \int_0^T [\cos(\omega t + \varphi) + \cos(\varphi)] dt$$

$$\langle U_i \rangle = \frac{U T}{2} \cos(\varphi)$$

$$\begin{aligned} \underline{M_i}^* &= M e^{j(\omega t + \varphi)} \times I e^{-j\omega t} \\ &= U I e^{j\varphi} = U I (\cos(\varphi) + j \sin(\varphi)) \end{aligned}$$

$$\frac{1}{2} \operatorname{Re}(\underline{M_i}^*) = \frac{U I}{2} \cos(\varphi)$$

$$\boxed{\langle M_i \rangle = \frac{1}{2} \operatorname{Re}(\underline{M_i}^*)}$$

$$\langle R_i^2 \rangle = R \times \frac{1}{2} \operatorname{Re}(\underline{i}^2)$$

$$\langle U_i^2 \rangle = \frac{1}{2} \operatorname{Re}(U \underline{i}^2) = \frac{1}{2} \operatorname{Re}(\underline{Z} \underline{i}^2)$$

$$\frac{\langle R_i^2 \rangle}{\langle U_i^2 \rangle} = \frac{\frac{1}{2} R \times \operatorname{Re}(\underline{i}^2)}{\frac{1}{2} \operatorname{Re}(\underline{Z} \underline{i}^2)} = \frac{R}{\operatorname{Re}(\underline{Z})}$$

$$\text{Facteur de qualité: } Q = R_0 C_0 \omega_0 = \frac{\sqrt{m \cdot k}}{\lambda}$$

$$\underline{Z} = \underline{R} + j \underline{L} \omega + \underline{Z_m}$$

$$\operatorname{Re}(\underline{Z}) = R + \operatorname{Re}(\underline{Z_m})$$

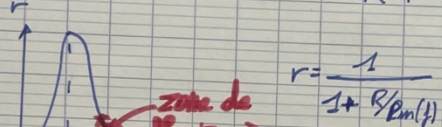
$$\underline{Z_m} = \frac{1}{\frac{1}{R_0} + \frac{1}{j \omega L} + j \omega C} = \frac{R_0}{1 + j R_0 (C \omega - \frac{1}{\omega L})}$$

(force d'ordre 2)

$$Z_m = \frac{R_0 + j\omega}{1 - R_0^2 \left(\omega_0 - \frac{1}{\omega_0} \right)^2}$$

$$\operatorname{Re}(Z_m) = \frac{R_0}{1 - R_0^2 \left(\omega_0 - \frac{1}{\omega_0} \right)^2} = R_m(j)$$

$$r = 1 - \frac{\langle R_m \rangle}{\langle \omega \rangle} = 1 - \frac{R}{R + \operatorname{Re}(Z_m)} = 1 - \frac{R}{R + R_m}$$



zone de fonction où le rendement est max quand R_m est max
le rendement est "moyen" pour $\omega = \omega_0$!

$$r = \frac{1}{1 + R/R_m(j)}$$

IV) Electromagnétisme dans l'ARQS

1) Dipôle dans l'ARQS

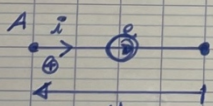
$$\text{ARQS} \rightarrow L \ll \lambda = c/f \quad L = 1 \text{ m} \Rightarrow f \ll 3 \cdot 10^8 \text{ Hz}$$

Pour $f \ll 10^8 \text{ Hz}$ l'ARQS est valide.

- bobine 1 auto-inductrice

$$e = -\frac{d\phi}{dt} \quad \phi = L_i$$

$$e = -L \frac{di}{dt}$$



$$U_L = -e \Rightarrow U_L = L \frac{di}{dt}$$

$$U_m = \frac{1}{2} L i^2 \quad \text{avec solénoïde } L = \mu_0 N^2 S$$

i Analogie

$$C = \frac{\epsilon_0 S}{e}$$

$$C = \frac{\epsilon_0 S}{e}$$

- condensateur :

$$e = C \frac{dU_0}{dt}$$

$$q = CU_0 \quad C = \frac{\epsilon_0 S}{e}$$

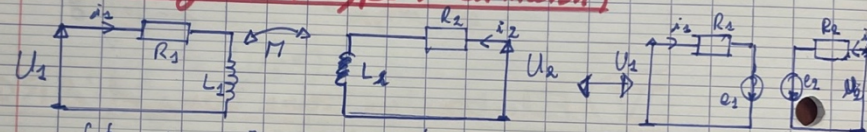
$$U_0 = \frac{1}{2} C U^2$$

Et $\vec{\operatorname{rot}} \vec{E} = \vec{0}$

(ARQS électrique dans condensateur : $\vec{\operatorname{rot}} \vec{B} = \mu_0 \epsilon_0 \frac{\partial \vec{E}}{\partial t}$)

La nouveauté est la possibilité par induction naturelle de coupler des circuits pour détecter (puce RFID) ou pour transférer de l'énergie.

2) Couplage par inductance mutuelle (en général type Neumann)



$$\begin{cases} \phi_1 = L_1 i_1 + M i_2 \\ \phi_2 = L_2 i_2 + M i_1 \end{cases}$$

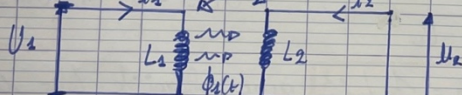
$$\begin{cases} e_1 = -\frac{d\phi_1}{dt} = -(L_1 \frac{di_1}{dt} + M \frac{di_2}{dt}) \\ e_2 = -\frac{d\phi_2}{dt} = -(L_2 \frac{di_2}{dt} + M \frac{di_1}{dt}) \end{cases}$$

$$\begin{cases} U_1 = R_1 i_1 + L_1 \frac{di_1}{dt} + M \frac{di_2}{dt} \\ U_2 = R_2 i_2 + L_2 \frac{di_2}{dt} + M \frac{di_1}{dt} \end{cases}$$

Exemple du principe de la détection par boucle inductive
(détection de véhicules, capteur à courants de Foucault)



TIPE



Boucle inductive
de détection

Véhicule ...

masse conductrice

La présence de courants de Foucault (induit) le condensateur

Conducteur

↪ modélisé comme une bobine

alil
 ORESA

$$U_2 = L_2 \frac{di_2}{dt} + M \frac{di_1}{dt}$$

ST

$$0 = L_2 \frac{di_2}{dt} + M \frac{di_1}{dt} \Rightarrow \frac{di_2}{dt} = - \frac{M}{L_2} \frac{di_1}{dt}$$

$$U_2 = (L_2 - M^2/L_2) \frac{di_2}{dt} = L_2 \left(1 - M^2/L_1 L_2\right) \frac{di_2}{dt}$$

Le dipôle entre A et B circuit ① est équivalent à

$$L_2 = L_2 (1 - k) \text{ avec } k = \frac{M^2}{L_1 L_2} \text{ coeff de couplage}$$

La présence du véhicule modifie l'inductance du détecteur.

Remarque : En régime sinusoïdal

Circuit RLC résonnant pour $\omega_0^2 = 1/LC$
 effet du couplage M
 apparition d'une nouvelle fréquence de résonance !

Vidéo capteur à courants de Foucault
https://www.youtube.com/watch?v=UDY_kCMXoWE